

Ek-III. 622.217. 2021

SOLDI

SOLDI s.c. Robert Klosek, Leszek Duda
ul. Bieżanowska 22
30-812 Kraków

Wodzisław Śląski, 2021-07-20

Inwestor:

TOWERLINK Sp. z o.o.
[do 12 lipca 2021 roku Polkomtel Infrastruktura Sp. z o.o.]
ul. Konstruktorska 4, 02-673 Warszawa

Pełnomocnik:

Hanna Helczyk
Tel. 730 777 773

Dane do korespondencji:

Soldi s.c.
ul. Mendego 12
44-300 Wodzisław Śląski
soldilab@wp.pl

22 LIP. 2021

Ref. 2 Ps. p. 21 / 21
EK 1-2

| |
|--|
| URZĄD MIASTA RYBNIKA KANCELARIA (1) |
| WPLYNEŁO |
| 2021. 171236 |
| 21. 07. 2021 |
| nr koresp. |
| ilość załączników |

Urząd Miasta Rybnika

ul. Bolesława Chrobrego 2
44-200 Rybnik

Dotyczy: ustawowego obowiązku, wynikającego z art. 152 ust.1 i ust. 7 w związku z ust. 6 pkt 1c ustawy z dnia 27 kwietnia 2001 r. – Prawo Ochrony Środowiska (Dz. U. 2020 poz. 1219 z zm.).

Działając w imieniu firmy **TOWERLINK Sp. z o.o.** z siedzibą w Warszawie przy ul. Konstruktorskiej 4, informuję o zmianie danych w zakresie wielkości i rodzaju emisji dla instalacji radiokomunikacyjnej **BT_22105_RYBNIK WEST** zlokalizowanej w miejscowości Rybnik przy ul. Kilińskiego 26. Aktualne dane dla w/w instalacji są następujące:

9. Wielkość i rodzaj emisji:

Emisja pola elektromagnetycznego – równoważne moce promieniowane izotropowo [EIRP] poszczególnych anten:

Anteny sektorowe:

1. 8899 W
2. 8899 W
3. 8899 W
4. 7844 W
5. 7844 W
6. 7844 W
7. 5907 / 5907 W
8. 5907 / 5907 W
9. 5907 / 5907 W

Anteny radioliniowe:

1. 794,33 W
2. 1318,26 W

23. 7. 2021
Mając do r. 2021
Kend

12. Szczegółowe dane odpowiednio do rodzaju instalacji zgodnie z wymaganiami określonymi w załączniku nr 2 do Rozporządzenia:

| Lp. | Częstotliwość [MHz] | Maksymalna moc nadawania EIRP [W] | Typ anteny | Liczba anten | Azymut [°] | Zakres kątów pochylenia [°] | Wysokość środka elektrycznego anteny [m n.p.t.] | Współrzędne geograficzne |
|-----|---------------------|-----------------------------------|-------------------|--------------|------------|-----------------------------|---|--------------------------------|
| 1. | 1800 | 3412 | 742266 | 1 | 27 | 0-3 | 37,8 | 50°05'19.08"N 18°31'33.87"E |
| | 900 | 5487 | | | | 0-7 | | |
| 2 | 1800 | 3412 | 742266 | 1 | 154 | 0-3 | 37,8 | 50°05'19.08"N 18°31'33.87"E |
| | 900 | 5487 | | | | 0-7 | | |
| 3 | 1800 | 3412 | 742266 | 1 | 270 | 0-6 | 37,8 | 50°05'19.08"N 18°31'33.87"E |
| | 900 | 5487 | | | | 0-7 | | |
| 4 | 2100 | 2160 | ATR4518R14 V06 | 1 | 27 | 0-8 | 39,0 | 50°05'19.08"N 18°31'33.87"E |
| | 2600 | 5684 | | | | 0-8 | | |
| 5 | 2100 | 2160 | ATR4518R14 V06 | 1 | 154 | 0-9,5 | 39,0 | 50°05'19.08"N 18°31'33.87"E |
| | 2600 | 5684 | | | | 0-9,5 | | |
| 6 | 2100 | 2160 | ATR4518R14 V06 | 1 | 270 | 0-10,5 | 39,0 | 50°05'19.08"N 18°31'33.87"E |
| | 2600 | 5684 | | | | 0-10,5 | | |
| 7 | 2600 | 5907 | AMB4520R8 V06 | 1 | 57 | 2-5 | 37,0 | 50°05'19.08"N 18°31'33.87"E |
| | 2600 | 5907 | | | 357 | 2-7 | | |
| 8 | 2600 | 5907 | AMB4520R8 V06 | 1 | 124 | 2-6 | 37,0 | 50°05'19.08"N 18°31'33.87"E |
| | 2600 | 5907 | | | 184 | 2-9,5 | | |
| 9 | 2600 | 5907 | AMB4520R8 V06 | 1 | 240 | 2-11 | 37,0 | 50°05'19.08"N 18°31'33.87"E |
| | 2600 | 5907 | | | 300 | 2-9 | | |

| RL | Linia radiowa | | | Antena | | | | Współrzędne geograficzne |
|----|-----------------|---------------------------|------------------------|-----------|--------------|------------|-----------------------------------|--------------------------------|
| | Typ / Producent | Częstotliwość pracy [GHz] | Moc wyjściowa EIRP [W] | Grupa | Średnica [m] | Azymut [°] | Wysokość zainstalowania n.p.t [m] | |
| 1 | Radiolinia | 80 | 794,33 | HAE1-80 | 0,3 | 177 | 39 | 50°05'19.08"N 18°31'33.87"E |
| 2 | Radiolinia | 38 | 1318,26 | A38S06HAC | 0,6 | 358 | 38 | 50°05'19.08"N 18°31'33.87"E |

Informuję, iż dokonane zmiany w zakresie wielkości i rodzaju emisji przedmiotowej instalacji nie powodują zmiany instalacji w sposób istotny zgodnie z art. 3 pkt 7 ustawy POŚ.

Jednocześnie informuję, iż analizowane przedsięwzięcie nadal nie kwalifikuje się do przedsięwzięć mogących znacząco oddziaływać na środowisko zgodnie z Rozporządzeniem Rady Ministrów z dnia 10 września 2019 r. w sprawie przedsięwzięć mogących znacząco oddziaływać na środowisko (Dz. U. 2019 poz. 1839 ze zm.)

Podpis:

Hamza Helczyk

W załączeniu przesyłam:

- 1) Sprawozdanie z pomiarów natężenia pól elektromagnetycznych dla celów ochrony środowiska (OŚ)
- 2) Pełnomocnictwo
- 3) Potwierdzenie wniesienia opłaty skarbowej



AB 1571



SOLDI s.c. Robert Kłosek, Leszek Duda
ul. Bieżanowska 22
30-812 Kraków

Sprawozdanie nr 258/2021/OS/04

Sprawozdanie z badania natężenia pól elektromagnetycznych
wykonanych w środowisku

Miejsce wykonania badania:

(dane uzyskane od klienta)

BT_22105_RYBNIK WEST

ul. Kilińskiego 26, Działka ewid. nr
3641/130 arkusz 1 obręb 0106,
44-200 Rybnik, gm. Rybnik
pow. M. Rybnik, woj. śląskie

Data wykonania badania:

14.07.2021 r.

Data wydania sprawozdania:

19.07.2021 r.

Klient:

TOWERLINK POLAND Sp. z o.o.
ul. Konstruktorska 4
02-673 Warszawa

SOLDI

Hanna Helczyk
Kierownik ds. jakości

Bez pisemnej zgody laboratorium, sprawozdanie nie może być powielane inaczej, jak tylko w całości.

1. Podstawa prawna

Badania wykonano zgodnie z obecnie występującymi aktami prawnymi:

- Ustawa z dnia 27 kwietnia 2001r. Prawo ochrony środowiska.
(Tekst jednolity: Dz. U. 2020 poz. 1219 z zm.).
- Rozporządzenie Ministra Zdrowia z dnia 17 grudnia 2019r. w sprawie dopuszczalnych poziomów pól elektromagnetycznych w środowisku.
(Dz. U. 2019 poz. 2448)
- Rozporządzenie Ministra Klimatu z dnia 17 lutego 2020r. w sprawie sposobów sprawdzania dotrzymania dopuszczalnych poziomów pól elektromagnetycznych w środowisku. (Dz. U. 2020 poz. 258)

2. Aparatura pomiarowa

Podczas badań użyto następującej aparatury pomiarowej:

Tabela nr 1

| Miernik | Sondy | Zakres częstotliwościowy | Zakres pomiarowy | Świadectwo wzorcowania |
|---------------------------------|---------------------|--------------------------|------------------|---|
| Narda NBM - 550 Nr E-0201 | EF0392 nr G-0073 | 0,1 – 3 400MHz | 0,8-972 V/m | LWiMP/W/051/21; data wydania: 17.02.2021 |
| Narda NBM - 550 Nr E-0201 | EF6092 nr C-0088 | 80 – 90 000MHz | 0,8-351 V/m | LWiMP/W/051/21; data wydania: 17.02.2021 |

Aparaturę pomiarową charakteryzują następujące wartości niepewności pomiaru obliczone i przedstawiona zgodnie z dokumentem EA 4/16. Podane wartości niepewności stanowią niepewności rozszerzone dla poziomu ufności 95% i współczynnika rozszerzenia $k=2$

Niepewność pomiarowa wyznaczona dla zainstalowanych i skonfigurowanych obiektów – źródeł pól, jak w dniu pomiaru wynosi 33%.

Dodatkowa aparatura pomiarowa:

- Kompas (busola [UP/29/Sw]
- Cyfrowy miernik wilgotności względnej i temperatury powietrza AZ8703
nr S/N:9614083
(Świadectwo Wzorcowania: 1388/AH/15; data wydania: 14.08.2015)
- Taśma Miernicza Geodezyjna 50 m
(Świadectwo Wzorcowania: U/21/51-512120028.2; data wydania: 10.03.2021)

- Odbiornik GPS HUAWEI P20

3. Współpraca z klientem

Działanie Laboratorium służy zawsze rozwiązywaniu problemów i spełnianiu wymagań klienta.

Laboratorium zobowiązuje się do przestrzegania warunków określonych przez klienta, dotyczących bezstronności i poufności badań a także ochrony jego praw, jeżeli nie jest to sprzeczne z obowiązującym prawem.

Klient ma możliwość złożenia skargi w terminie 14 dni, licząc od daty przyjęcia sprawozdania.

4. Opis badania

Badanie przeprowadziło Laboratorium Badawcze Soldi na podstawie zlecenia firmy AXIANS Networks Poland Sp. z o. o., ul. Żupnicza 17, 03-821 Warszawa.

Badanie wykonano zgodnie z:

Załącznik do Rozporządzenia Ministra Klimatu z dnia 17 lutego 2020 r. w sprawie sposobów sprawdzania dotrzymania dopuszczalnych poziomów pól elektromagnetycznych w środowisku. (Dz. U. 2020 poz. 258)

Badania promieniowania elektromagnetycznego, którego źródłem są urządzenia wyszczególnione w pkt. 5 przeprowadzono w pionach pomiarowych w szczególności w tych miejscach, w których na podstawie uprzednio przeprowadzonych obliczeń, stwierdzono występowanie w danych zakresach częstotliwości pól elektromagnetycznych o najwyższych spodziewanych poziomach. Badania pól elektromagnetycznych przeprowadzono w pionach pomiarowych wzdłuż głównych kierunków pomiarowych oraz dodatkowych pionach pomiarowych na terenach przeznaczonych pod zabudowę mieszkaniową oraz w miejscach dostępnych dla ludności w otoczeniu instalacji. W przyjętych pionach pomiarowych pomiary wykonano na wysokościach od 0,3 m do 2,0 m nad powierzchnią terenu albo nad innymi miejscami dostępnymi dla ludności.

Za wynik badania wpisany w Tabeli nr 3 kolumnie 4 niniejszego sprawozdania, uznaje się wartość wyznaczoną jako iloczyn maksymalnego chwilowego wyniku pomiaru i poprawki pomiarowej, powiększoną o rozszerzoną niepewność pomiaru U dla współczynnika rozszerzenia $k=2$.

5. Informację przekazane przez klienta

Tabela Nr 2 – Szczegółowe dane źródła pól dla anten mikrofalowych

Tabela Nr 2a – Szczegółowe dane źródła pól dla anten sektorowych

Tabela Nr 2

| Charakterystyka promieniowania | | Kierunkowa | | | | | | |
|---------------------------------|-----------------|---------------------------|------------------------|-----------|--------------|------------|-----------------------------------|--------------------------------|
| Rzeczywisty czas pracy [h/dobę] | | 24 | | | | | | |
| Warunki pracy | | Pełne obciążenie | | | | | | |
| Rodzaj wytwarzanego pola | | Stacjonarne | | | | | | |
| RL | Linia radiowa | | | Antena | | | | Współrzędne geograficzne |
| | Typ / Producent | Częstotliwość pracy [GHz] | Moc wyjściowa EIRP [W] | Typ | Średnica [m] | Azymut [°] | Wysokość zainstalowania n.p.t [m] | |
| 1 | Radiolinia | 80 | 794,33 | HAE1-80 | 0,3 | 177 | 39 | 50°05'19.08"N 18°31'33.87"E |
| 2 | Radiolinia | 38 | 1318,26 | A38S06HAC | 0,6 | 358 | 38 | 50°05'19.08"N 18°31'33.87"E |

Tabela Nr 2a

| Charakterystyka promieniowania | | kierunkowa | | | | | | |
|---------------------------------|---------------------|-----------------------------------|-------------------|--------------|------------|--------------------|---|--------------------------------|
| Rzeczywisty czas pracy [h/doba] | | 24 | | | | | | |
| Warunki pracy | | znamionowe | | | | | | |
| Rodzaj wytwarzanego pola | | stacjonarne | | | | | | |
| Lp. | Częstotliwość [MHz] | Maksymalna moc nadawania EIRP [W] | Typ anteny | Liczba anten | Azymut [°] | Kąt nachylenia [°] | Wysokość środka elektrycznego anteny [m n.p.t.] | Współrzędne geograficzne |
| 1. | 1800 | 3412 | 742266 | 1 | 27 | 0-3 | 37,8 | 50°05'19.08"N 18°31'33.87"E |
| | 900 | 5487 | | | | 0-7 | | |
| 2 | 1800 | 3412 | 742266 | 1 | 154 | 0-3 | 37,8 | 50°05'19.08"N 18°31'33.87"E |
| | 900 | 5487 | | | | 0-7 | | |
| 3 | 1800 | 3412 | 742266 | 1 | 270 | 0-6 | 37,8 | 50°05'19.08"N 18°31'33.87"E |
| | 900 | 5487 | | | | 0-7 | | |
| 4 | 2100 | 2160 | ATR4518R14 V06 | 1 | 27 | 0-8 | 39,0 | 50°05'19.08"N 18°31'33.87"E |
| | 2600 | 5684 | | | | 0-8 | | |
| 5 | 2100 | 2160 | ATR4518R14 V06 | 1 | 154 | 0-9,5 | 39,0 | 50°05'19.08"N 18°31'33.87"E |
| | 2600 | 5684 | | | | 0-9,5 | | |
| 6 | 2100 | 2160 | ATR4518R14 V06 | 1 | 270 | 0-10,5 | 39,0 | 50°05'19.08"N 18°31'33.87"E |
| | 2600 | 5684 | | | | 0-10,5 | | |
| 7 | 2600 | 5907 | AMB4520R8 V06 | 1 | 57 | 2-5 | 37,0 | 50°05'19.08"N 18°31'33.87"E |
| | 2600 | 5907 | | | 357 | 2-7 | | |
| 8 | 2600 | 5907 | AMB4520R8 V06 | 1 | 124 | 2-6 | 37,0 | 50°05'19.08"N 18°31'33.87"E |
| | 2600 | 5907 | | | 184 | 2-9,5 | | |
| 9 | 2600 | 5907 | AMB4520R8 V06 | 1 | 240 | 2-11 | 37,0 | 50°05'19.08"N 18°31'33.87"E |
| | 2600 | 5907 | | | 300 | 2-9 | | |

W załączonej tabeli podano maksymalne parametry pracy tej instalacji deklarowane przez prowadzącego instalację. Podczas pomiarów urządzenia użytkownika pracowały przy aktualnie występującym obciążeniu oraz podczas badania anteny użytkownika o sterowanych wiązkach zostały ustawione w sposób umożliwiający spełnienie wymagań pkt. 13 ppkt. 2 RMK.

Przy sprawdzaniu dotrzymania dopuszczalnych poziomów pól elektromagnetycznych w środowisku uwzględnia się poprawkę pomiarową o wartości 1,65 umożliwiającą uwzględnienie maksymalnych parametrów pracy instalacji. Ze względu na fakt, że pomiary wykonywane są przy użyciu miernika szerokopasmowego, wartość poprawki pomiarowej nie odnosi się oddzielnie ani do poszczególnych systemów i zakresów częstotliwości, ani do obecności innych instalacji emitujących pole – EM w sąsiedztwie lecz uwzględnia wszystkie te czynniki łącznie.

Jako dopuszczalne poziomy gęstości pola elektromagnetycznego przyjmuje się wartość 2W/m^2 , co odpowiada natężeniu składowej elektrycznej pola elektromagnetycznego o wartości 28 V/m – tj. minimalnej wartości dopuszczalnej dla zakresu częstotliwości od 10 MHz do 300 GHz.

6. Wyniki badań i szkic sytuacyjny

Warunki meteorologiczne podczas wykonywania badania:

Temperatura powietrza.....: 24÷26°C

Wilgotność względna.....: 48÷52%

Opady atmosferyczne.....: brak

Temperatura i wilgotność względna nie wyższa niż dopuszczalna specyfikacja miernika.

Tabela nr 3

| Wartości obliczane zgodnie z wymaganiami załącznika do RMK z 18.02.2020 r. (Dz. U. 2020, poz. 258) | | | | | | | | |
|--|---|-----------------------------|-------------------|---------------------------------------|---------------------------------|--|--|---------------------|
| Nr pionu/ punktu | Lokalizacja pionu / punktu pomiarowego | Współrzędne geograficzne | Wynik pomiaru | Wynik badania pola-E ^{*)} | Wartość wyznaczona pola-M | Wskaźnik poziomu emisji WM _E | Wskaźnik poziomu emisji WM _H | Wysokość pomiaru |
| | | | [V/m] | [V/m] | [A/m] | | | [m] |
| 1 | 2 | 3 | 4 | 5 | 6 | 7 | 8 | 9 |
| 1 | GKP; poziom terenu wokół stacji bazowej | 50°5'19.5"N 18°31'34.0"E | 1,0 | 2,0 | 0,005 | 0,07 | 0,07 | 2,0 |
| 2 | GKP; poziom terenu wokół stacji bazowej | 50°5'20.0"N 18°31'34.5"E | 1,0 | 2,0 | 0,005 | 0,07 | 0,07 | 2,0 |
| 3 | GKP; poziom terenu wokół stacji bazowej | 50°5'23.0"N 18°31'36.5"E | 0,9 ^{N)} | 2,0 | 0,005 | 0,07 | 0,07 | 2,0 |
| 4 | PKP; poziom terenu wokół stacji bazowej | 50°5'23.0"N 18°31'37.0"E | 0,9 ^{N)} | 2,0 | 0,005 | 0,07 | 0,07 | 2,0 |
| 5 | GKP; poziom terenu wokół stacji bazowej -260m od obiektu, na azymucie 27° | 50°5'26.5"N 18°31'39.5"E | 0,8 ^{N)} | 2,0 | 0,005 | 0,07 | 0,07 | 2,0 |
| 6 | GKP; poziom terenu wokół stacji bazowej -395m od obiektu, na azymucie 27° | 50°5'30.5"N 18°31'42.5"E | 0,8 ^{N)} | 2,0 | 0,005 | 0,07 | 0,07 | 2,0 |
| 7 | PKP; poziom terenu wokół stacji bazowej -400m od obiektu, na azymucie 30° | 50°5'30.5"N 18°31'43.5"E | 0,9 ^{N)} | 2,0 | 0,005 | 0,07 | 0,07 | 2,0 |
| 8 | PKP; poziom terenu wokół stacji bazowej | 50°5'19.0"N 18°31'34.5"E | 1,0 | 2,0 | 0,005 | 0,07 | 0,07 | 2,0 |
| 9 | GKP; poziom terenu wokół stacji bazowej | 50°5'19.5"N 18°31'34.5"E | 1,0 | 2,0 | 0,005 | 0,07 | 0,07 | 2,0 |
| 10 | GKP; poziom terenu wokół stacji bazowej | 50°5'19.5"N 18°31'35.0"E | 1,0 | 2,0 | 0,005 | 0,07 | 0,07 | 2,0 |
| 11 | GKP; poziom terenu wokół stacji bazowej | 50°5'21.5"N 18°31'39.0"E | 0,9 ^{N)} | 2,0 | 0,005 | 0,07 | 0,07 | 2,0 |
| 12 | GKP; poziom terenu wokół stacji bazowej -260m od obiektu, na azymucie 57° | 50°5'23.5"N 18°31'44.5"E | 0,9 ^{N)} | 2,0 | 0,005 | 0,07 | 0,07 | 2,0 |
| 13 | GKP; poziom terenu wokół stacji bazowej -390m od obiektu, na azymucie 57° | 50°5'26.0"N 18°31'50.0"E | 0,8 ^{N)} | 2,0 | 0,005 | 0,07 | 0,07 | 2,0 |

^{*)} Za wynik badania przyjmuje się wartość wyznaczoną jako iloczyn maksymalnego chwilowego wyniku pomiarów i poprawki pomiarowej, powiększoną o rozszerzoną niepewność pomiaru U dla współczynnika rozszerzenia k=2

^{N)} Wynik spoza zakresu akredytacji. Do uzyskania wyniku badania interpoluje się wynik pomiaru do wartości dolnej granicy zakresu pomiarowego metody. Wartość tą wykorzystuje się do wyliczenia wyniku badania i do stwierdzenia zgodności.

Objaśnienia:

GKP – Główny Kierunek Pomiarowy

PKP – Pomocniczy Kierunek Pomiarowy

Tabela nr 3 c.d.

| Wartości obliczane zgodnie z wymaganiami załącznika do RMK z 18.02.2020 r. (Dz. U. 2020, poz. 258) | | | | | | | | |
|--|---|-----------------------------|-------------------|--|---------------------------------|--|--|---------------------|
| Nr pionu/ punktu | Lokalizacja pionu / punktu pomiarowego | Współrzędne geograficzne | Wynik pomiaru | Wynik badania pola-E ^{N)} | Wartość wyznaczona pola-M | Wskaźnik poziomu emisji WM _E | Wskaźnik poziomu emisji WM _H | Wysokość pomiaru |
| | | | [V/m] | [V/m] | [A/m] | | | [m] |
| 1 | 2 | 3 | 4 | 5 | 6 | 7 | 8 | 9 |
| 14 | PKP; poziom terenu wokół stacji bazowej -420m od obiektu, na azymucie 85° | 50°5'20.5"N 18°31'55.0"E | 0,8 ^{N)} | 2,0 | 0,005 | 0,07 | 0,07 | 2,0 |
| 15 | GKP; poziom terenu wokół stacji bazowej | 50°5'18.5"N 18°31'34.0"E | 1,0 | 2,0 | 0,005 | 0,07 | 0,07 | 2,0 |
| 16 | GKP; poziom terenu wokół stacji bazowej | 50°5'18.0"N 18°31'34.5"E | 1,0 | 2,0 | 0,005 | 0,07 | 0,07 | 2,0 |
| 17 | GKP; poziom terenu wokół stacji bazowej | 50°5'16.0"N 18°31'39.0"E | 0,9 ^{N)} | 2,0 | 0,005 | 0,07 | 0,07 | 2,0 |
| 18 | GKP; poziom terenu wokół stacji bazowej -260m od obiektu, na azymucie 124° | 50°5'14.0"N 18°31'44.5"E | 0,9 ^{N)} | 2,0 | 0,005 | 0,07 | 0,07 | 2,0 |
| 19 | GKP; poziom terenu wokół stacji bazowej -390m od obiektu, na azymucie 124° | 50°5'11.5"N 18°31'49.5"E | 0,8 ^{N)} | 2,0 | 0,005 | 0,07 | 0,07 | 2,0 |
| 20 | GKP; poziom terenu wokół stacji bazowej | 50°5'18.0"N 18°31'33.5"E | 1,0 | 2,0 | 0,005 | 0,07 | 0,07 | 2,0 |
| 21 | GKP; poziom terenu wokół stacji bazowej | 50°5'17.5"N 18°31'34.0"E | 1,0 | 2,0 | 0,005 | 0,07 | 0,07 | 2,0 |
| 22 | GKP; poziom terenu wokół stacji bazowej | 50°5'15.0"N 18°31'36.5"E | 0,9 ^{N)} | 2,0 | 0,005 | 0,07 | 0,07 | 2,0 |
| 23 | GKP; poziom terenu wokół stacji bazowej -260m od obiektu, na azymucie 154° | 50°5'11.0"N 18°31'39.0"E | 0,8 ^{N)} | 2,0 | 0,005 | 0,07 | 0,07 | 2,0 |
| 24 | GKP; poziom terenu wokół stacji bazowej -390m od obiektu, na azymucie 154° | 50°5'7.0"N 18°31'42.0"E | 0,8 ^{N)} | 2,0 | 0,005 | 0,07 | 0,07 | 2,0 |
| 25 | GKP; poziom terenu wokół stacji bazowej | 50°5'18.0"N 18°31'33.5"E | 1,0 | 2,0 | 0,005 | 0,07 | 0,07 | 2,0 |
| 26 | GKP; poziom terenu wokół stacji bazowej | 50°5'17.0"N 18°31'33.5"E | 1,0 | 2,0 | 0,005 | 0,07 | 0,07 | 2,0 |
| 27 | GKP; poziom terenu wokół stacji bazowej | 50°5'16.0"N 18°31'34.0"E | 0,9 ^{N)} | 2,0 | 0,005 | 0,07 | 0,07 | 2,0 |
| 28 | GKP; poziom terenu wokół stacji bazowej | 50°5'18.0"N 18°31'33.5"E | 1,0 | 2,0 | 0,005 | 0,07 | 0,07 | 2,0 |
| 29 | GKP; poziom terenu wokół stacji bazowej | 50°5'17.5"N 18°31'33.5"E | 1,0 | 2,0 | 0,005 | 0,07 | 0,07 | 2,0 |
| 30 | DPP; światło okna klatki schodowej budynku przy ul. Jana Kilińskiego 30e (3p) | - | 1,9 | 3,9 | 0,010 | 0,14 | 0,13 | 2,0 |
| 31 | GKP; poziom terenu wokół stacji bazowej | 50°5'14.5"N 18°31'33.0"E | 0,9 ^{N)} | 2,0 | 0,005 | 0,07 | 0,07 | 2,0 |

^{N)} Za wynik badania przyjmuje się wartość wyznaczoną jako iloczyn maksymalnego chwilowego wyniku pomiarów i poprawki pomiarowej, powiększoną o rozszerzoną niepewność pomiaru U dla współczynnika rozszerzenia k=2

^{N)} Wynik spoza zakresu akredytacji. Do uzyskania wyniku badania interpoluje się wynik pomiaru do wartości dolnej granicy zakresu pomiarowego metody. Wartość tą wykorzystuje się do wyliczenia wyniku badania i do stwierdzenia zgodności.

Objaśnienia:

GKP – Główny Kierunek Pomiarowy

PKP – Pomocniczy Kierunek Pomiarowy

DPP – Dodatkowy Pion Pomiarowy

Tabela nr 3 c.d.

| Wartości obliczane zgodnie z wymaganiami załącznika do RMK z 18.02.2020 r. (Dz. U. 2020, poz. 258) | | | | | | | | |
|--|--|-----------------------------|-------------------|--|---------------------------------|--|--|---------------------|
| Nr pionu/ punktu | Lokalizacja pionu / punktu pomiarowego | Współrzędne geograficzne | Wynik pomiaru | Wynik badania pola-E ^{*)} | Wartość wyznaczona pola-M | Wskaźnik poziomu emisji WM _E | Wskaźnik poziomu emisji WM _H | Wysokość pomiaru |
| | | | [V/m] | [V/m] | [A/m] | | | [m] |
| 1 | 2 | 3 | 4 | 5 | 6 | 7 | 8 | 9 |
| 32 | GKP; poziom terenu wokół stacji bazowej -260m od obiektu, na azymucie 184° | 50°5'10.0"N 18°31'32.5"E | 0,8 ^{N)} | 2,0 | 0,005 | 0,07 | 0,07 | 2,0 |
| 33 | GKP; poziom terenu wokół stacji bazowej -260m od obiektu, na azymucie 184° | 50°5'6.0"N 18°31'32.0"E | 0,8 ^{N)} | 2,0 | 0,005 | 0,07 | 0,07 | 2,0 |
| 34 | PKP; poziom terenu wokół stacji bazowej | 50°5'18.5"N 18°31'33.0"E | 1,0 | 2,0 | 0,005 | 0,07 | 0,07 | 2,0 |
| 35 | PKP; poziom terenu wokół stacji bazowej | 50°5'18.0"N 18°31'32.5"E | 1,0 | 2,0 | 0,005 | 0,07 | 0,07 | 2,0 |
| 36 | PKP; poziom terenu wokół stacji bazowej | 50°5'15.0"N 18°31'30.0"E | 0,9 ^{N)} | 2,0 | 0,005 | 0,07 | 0,07 | 2,0 |
| 37 | PKP; poziom terenu wokół stacji bazowej | 50°5'11.5"N 18°31'26.5"E | 0,8 ^{N)} | 2,0 | 0,005 | 0,07 | 0,07 | 2,0 |
| 38 | PKP; poziom terenu wokół stacji bazowej -390m od obiektu, na azymucie 210° | 50°5'8.0"N 18°31'23.5"E | 0,8 ^{N)} | 2,0 | 0,005 | 0,07 | 0,07 | 2,0 |
| 39 | PKP; poziom terenu wokół stacji bazowej | 50°5'18.5"N 18°31'32.5"E | 1,0 | 2,0 | 0,005 | 0,07 | 0,07 | 2,0 |
| 40 | PKP; poziom terenu wokół stacji bazowej | 50°5'18.0"N 18°31'32.0"E | 1,0 | 2,0 | 0,005 | 0,07 | 0,07 | 2,0 |
| 41 | PKP; poziom terenu wokół stacji bazowej | 50°5'16.5"N 18°31'28.0"E | 0,9 ^{N)} | 2,0 | 0,005 | 0,07 | 0,07 | 2,0 |
| 42 | PKP; poziom terenu wokół stacji bazowej -260m od obiektu, na azymucie 235° | 50°5'14.0"N 18°31'22.5"E | 0,8 ^{N)} | 2,0 | 0,005 | 0,07 | 0,07 | 2,0 |
| 43 | PKP; poziom terenu wokół stacji bazowej -390m od obiektu, na azymucie 235° | 50°5'11.5"N 18°31'17.0"E | 0,8 ^{N)} | 2,0 | 0,005 | 0,07 | 0,07 | 2,0 |
| 44 | GKP; poziom terenu wokół stacji bazowej | 50°5'18.5"N 18°31'32.0"E | 1,0 | 2,0 | 0,005 | 0,07 | 0,07 | 2,0 |
| 45 | GKP; poziom terenu wokół stacji bazowej | 50°5'18.5"N 18°31'31.5"E | 1,0 | 2,0 | 0,005 | 0,07 | 0,07 | 2,0 |
| 46 | GKP; poziom terenu wokół stacji bazowej | 50°5'16.5"N 18°31'27.0"E | 0,8 ^{N)} | 2,0 | 0,005 | 0,07 | 0,07 | 2,0 |
| 47 | GKP; poziom terenu wokół stacji bazowej -260m od obiektu, na azymucie 240° | 50°5'14.5"N 18°31'21.5"E | 0,9 ^{N)} | 2,0 | 0,005 | 0,07 | 0,07 | 2,0 |
| 48 | GKP; poziom terenu wokół stacji bazowej -390m od obiektu, na azymucie 240° | 50°5'12.5"N 18°31'16.0"E | 0,8 ^{N)} | 2,0 | 0,005 | 0,07 | 0,07 | 2,0 |

^{*)} Za wynik badania przyjmuje się wartość wyznaczoną jako iloczyn maksymalnego chwilowego wyniku pomiarów i poprawki pomiarowej, powiększoną o rozszerzoną niepewność pomiaru U dla współczynnika rozszerzenia k=2

^{N)} Wynik spoza zakresu akredytacji. Do uzyskania wyniku badania interpoluje się wynik pomiaru do wartości dolnej granicy zakresu pomiarowego metody. Wartość tą wykorzystuje się do wyliczenia wyniku badania i do stwierdzenia zgodności.

Objaśnienia:

GKP – Główny Kierunek Pomiarowy

PKP – Pomocniczy Kierunek Pomiarowy

Tabela nr 3 c.d.

| Wartości obliczane zgodnie z wymaganiami załącznika do RMK z 18.02.2020 r. (Dz. U. 2020, poz. 258) | | | | | | | | |
|--|--|-----------------------------|-------------------|--|---------------------------------|-------------------------------|-------------------------------|---------------------|
| Nr pionu/ punktu | Lokalizacja pionu / punktu pomiarowego | Współrzędne geograficzne | Wynik pomiaru | Wynik badania pola-E ^{*)} | Wartość wyznaczona pola-M | Wskaźnik poziomu emisji | Wskaźnik poziomu emisji | Wysokość pomiaru |
| | | | [V/m] | [V/m] | [A/m] | WM _E | WM _H | [m] |
| 1 | 2 | 3 | 4 | 5 | 6 | 7 | 8 | 9 |
| 49 | GKP; poziom terenu wokół stacji bazowej | 50°5'19.0"N 18°31'32.0"E | 1,0 | 2,0 | 0,005 | 0,07 | 0,07 | 2,0 |
| 50 | GKP; poziom terenu wokół stacji bazowej | 50°5'19.0"N 18°31'31.5"E | 1,0 | 2,0 | 0,005 | 0,07 | 0,07 | 2,0 |
| 51 | GKP; poziom terenu wokół stacji bazowej | 50°5'19.0"N 18°31'26.0"E | 0,9 ^{N)} | 2,0 | 0,005 | 0,07 | 0,07 | 2,0 |
| 52 | GKP; poziom terenu wokół stacji bazowej -260m od obiektu, na azymucie 270° | 50°5'19.0"N 18°31'19.5"E | 0,9 ^{N)} | 2,0 | 0,005 | 0,07 | 0,07 | 2,0 |
| 53 | GKP; poziom terenu wokół stacji bazowej -390m od obiektu, na azymucie 270° | 50°5'19.0"N 18°31'13.0"E | 0,9 ^{N)} | 2,0 | 0,005 | 0,07 | 0,07 | 2,0 |
| 54 | GKP; poziom terenu wokół stacji bazowej | 50°5'19.0"N 18°31'32.0"E | 1,0 | 2,0 | 0,005 | 0,07 | 0,07 | 2,0 |
| 55 | GKP; poziom terenu wokół stacji bazowej | 50°5'19.5"N 18°31'31.5"E | 1,0 | 2,0 | 0,005 | 0,07 | 0,07 | 2,0 |
| 56 | GKP; poziom terenu wokół stacji bazowej | 50°5'21.0"N 18°31'27.0"E | 0,9 ^{N)} | 2,0 | 0,005 | 0,07 | 0,07 | 2,0 |
| 57 | GKP; poziom terenu wokół stacji bazowej -260m od obiektu, na azymucie 300° | 50°5'23.0"N 18°31'21.5"E | 0,8 ^{N)} | 2,0 | 0,005 | 0,07 | 0,07 | 2,0 |
| 58 | GKP; poziom terenu wokół stacji bazowej -390m od obiektu, na azymucie 300° | 50°5'25.0"N 18°31'16.0"E | 0,9 ^{N)} | 2,0 | 0,005 | 0,07 | 0,07 | 2,0 |
| 59 | PKP; poziom terenu wokół stacji bazowej | 50°5'19.5"N 18°31'33.5"E | 1,0 | 2,0 | 0,005 | 0,07 | 0,07 | 2,0 |
| 60 | PKP; poziom terenu wokół stacji bazowej -390m od obiektu, na azymucie 345° | 50°5'31.0"N 18°31'27.5"E | 0,9 ^{N)} | 2,0 | 0,005 | 0,07 | 0,07 | 2,0 |
| 61 | GKP; poziom terenu wokół stacji bazowej | 50°5'20.5"N 18°31'33.0"E | 0,8 ^{N)} | 2,0 | 0,005 | 0,07 | 0,07 | 2,0 |
| 62 | GKP; poziom terenu wokół stacji bazowej | 50°5'21.5"N 18°31'33.0"E | 0,8 ^{N)} | 2,0 | 0,005 | 0,07 | 0,07 | 2,0 |
| 63 | GKP; poziom terenu wokół stacji bazowej | 50°5'22.5"N 18°31'33.0"E | 0,9 ^{N)} | 2,0 | 0,005 | 0,07 | 0,07 | 2,0 |
| 64 | GKP; poziom terenu wokół stacji bazowej | 50°5'19.5"N 18°31'33.5"E | 0,9 ^{N)} | 2,0 | 0,005 | 0,07 | 0,07 | 2,0 |
| 65 | GKP; poziom terenu wokół stacji bazowej | 50°5'20.0"N 18°31'33.5"E | 0,8 ^{N)} | 2,0 | 0,005 | 0,07 | 0,07 | 2,0 |
| 66 | GKP; poziom terenu wokół stacji bazowej | 50°5'23.5"N 18°31'33.5"E | 0,8 ^{N)} | 2,0 | 0,005 | 0,07 | 0,07 | 2,0 |

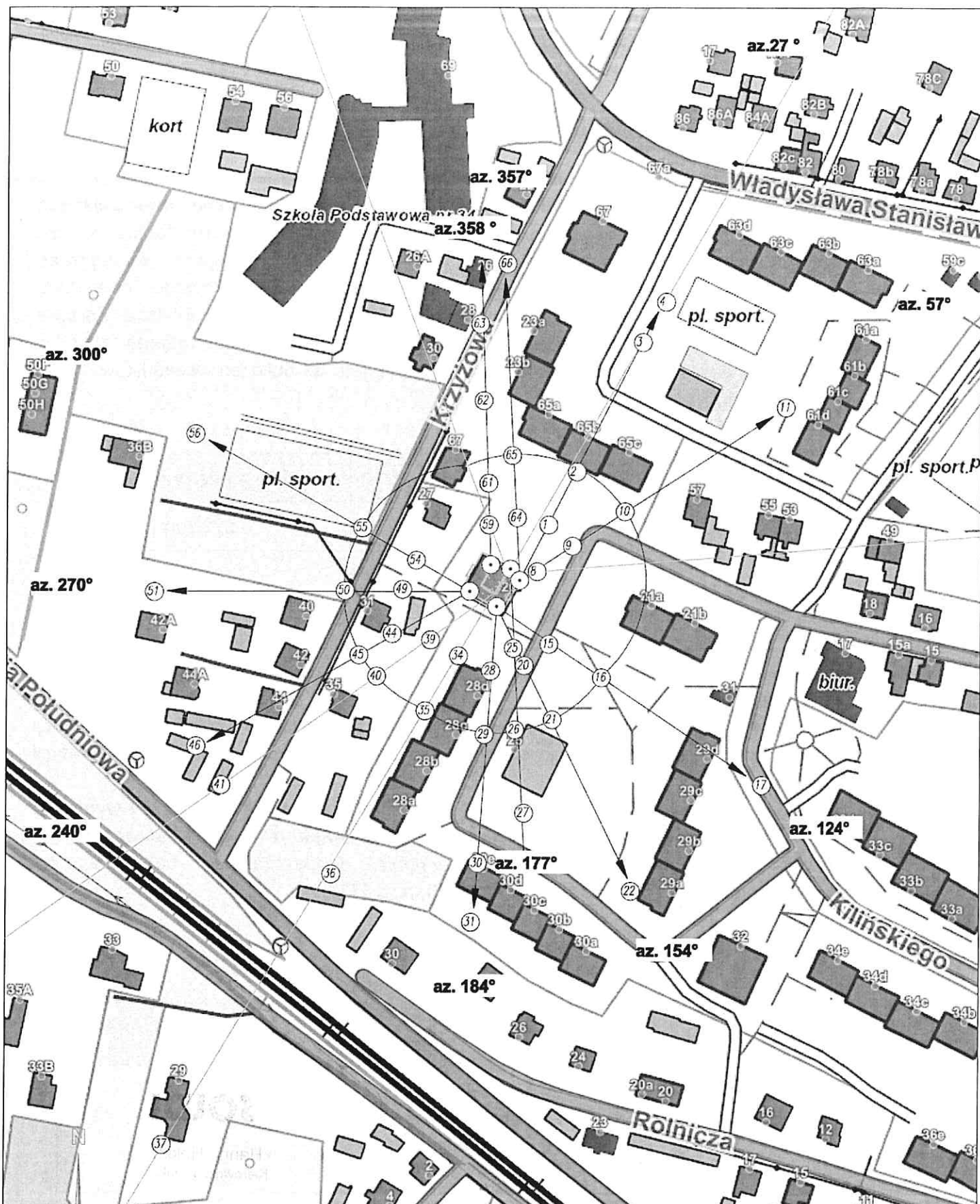
^{*)} Za wynik badania przyjmuje się wartość wyznaczoną jako iloczyn maksymalnego chwilowego wyniku pomiarów i poprawki pomiarowej, powiększoną o rozszerzoną niepewność pomiaru U dla współczynnika rozszerzenia k=2

^{N)} Wynik spoza zakresu akredytacji. Do uzyskania wyniku badania interpoluje się wynik pomiaru do wartości dolnej granicy zakresu pomiarowego metody. Wartość tą wykorzystuje się do wyliczenia wyniku badania i do stwierdzenia zgodności.

Objaśnienia:

GKP – Główny Kierunek Pomiarowy

PKP – Pomocniczy Kierunek Pomiarowy



UWAGA: Nie wszystkie punkty / piony pomiarowe zostały wskazane na powyższej mapie

LEGENDA:

- (Nr) – Punkty (piony) pomiarowe
- – Lokalizacja źródła pola-EM
- – Obligatoryjny obszar pomiarowy

SOLDI

Hanna Helczyk
Kierownik ds. jakości

Nr stacji BT_22105

Obiekt: RYBNIK_WEST

Nazwa rysunku: Rozmieszczenie pionów pomiarowych

Nr sprawozdania: 258/2021/OS/04

Skala:

1:2000

LABORATORIUM BADAWCZE

SOLDI

ul. Bieżanowska 22, 30-812 Kraków

Opracował:
Laboratorium Badawcze Soldi

Nr rysunku

01

7. Podsumowanie wyników badania

Minimalne dopuszczalne poziomy elektromagnetycznego promieniowania niejonizującego charakteryzowane przez wartości graniczne wielkości fizycznych dla miejsc dostępnych dla ludności, uwzględniające wszystkie źródła promieniowania mogące występować w obszarze pomiarowym, w zakresie pomiarowym zestawu pomiarowego, opisanego w punkcie 2 niniejszego sprawozdania, zgodnie z *Rozporządzeniem Ministra Zdrowia z dnia 17 grudnia 2019 r. w sprawie dopuszczalnych poziomów pól elektromagnetycznych w środowisku* [Dz. U. 2019, poz. 2448], które zostały przyjęte do obliczeń wskaźników WM_E i WM_H wynoszą odpowiednio:

Tabela nr 4


| Zakres częstotliwości | Natężenie pola - E | Natężenie pola - H |
|-----------------------|--------------------|--------------------|
| 10 MHz – 300 GHz | 28 V/m | 0,073 A/m |

W wyniku przeprowadzonych badań potwierdzono, że otrzymane wartości wskaźnikowe dla wszystkich punktów / pionów pomiarowych badanej instalacji radiokomunikacyjnej, nie przekroczyły wartości 1. Zatem poziomy pól elektromagnetycznych w badanych punktach są dopuszczalne.

Stwierdzenie zgodności zostało przedstawione na podstawie wyników badań oraz informacji uzyskanych od klienta (za które Laboratorium nie ponosi odpowiedzialności) dla instalacji opisanej w punkcie 5.

Stwierdzenia zgodności dokonano na podstawie zasady podejmowania decyzji i wymagań zawartych w załączniku do *Rozporządzenia Ministra Klimatu z dnia 17 lutego 2020 r. w sprawie sposobów sprawdzania dotrzymania dopuszczalnych poziomów pól elektromagnetycznych w środowisku* [Dz. U. 2020, poz. 258].

Tabela nr 5

| Badania wykonał: | Sprawozdanie sporządził: | Sprawdził/Autoryzował: |
|----------------------|--------------------------|--|
| Łukasz Atrachimowicz | Katarzyna Potysz | 19.07.2021 r. SOLDI  Hanna Helczyk Kierownik ds. jakości |

KONIEC SPRAWOZDANIA